

## ИЗСЛЕДВАНЕ НА АВТОНОМНИ ИНВЕРТОРИ НА НАПРЕЖЕНИЕ

докт. инж. Димитър Димов ВМЕИ - ВАРНА  
ст. ас. инж. Ивайло Богданов Цеков ВМЕИ - ВАРНА  
ас. инж. Виктор Йорданов Борисов ВМЕИ - ВАРНА  
ст. ас. инж. Георги Евтимов Тодоринов ВМЕИ - ВАРНА

В системите за гарантирано захранване най-широко приложение намират инверторите на напрежение. В различни случаи в зависимост от стойността на захранващото напрежение, стойността и характера на товара, изискванията към захранващото напрежение и др. се предпочита една или друга схема.

В настоящата работа се анализират две схеми - разновидности на автономен инвертор на напрежение със средна точка на изходния трансформатор.

Първата схема (Fig. 1a - сх. 1) има два комутиращи тиристора ( $VS_2$ ,  $VS_4$ ) и един комутиращ кондензатор ( $C$ ). Втората схема (Fig. 1b - сх. 2) има един комутиращ тиристор ( $VS_{2,4}$ ) и два комутиращи кондензатора ( $C_1$ ,  $C_2$ ). Схема 2 има допълнително два зарядни диода ( $VD_3$ ,  $VD_4$ ).

Ако приемем, че в интервала  $\Delta t = 0 \dots t_1$  е отпущен тиристор  $VS_1$  (за двете схеми) следва зареждане на кондензатора  $C$  ( $C_1$ ) за сх. 2 от захранващия източник  $E$ , през неработещата в момента първична намотка на трансформатора ( $W_{12}$ ) и отпускането тиристор  $VS_1$ . В момента  $t = t_1$  се отпуска комутиращият тиристор  $VS_2$  ( $VS_{2,4}$ ), който прилага през захранващия източник обратно напрежение върху работещия тиристор и го запушва. Следва заряд на кондензатора  $C$  ( $C_1$ ) и презареждането на  $C$  ( $C_2$ ) при отпускането на другия работен тиристор  $VS_3$ . По-нататък процесите са аналогични.

Последователността в работата на тиристорите е показана в табл. 1 чрез логическите променливи  $T_1$  до  $T_4$  и  $B_1$ ,  $B_2$ , където:

	$0 + t_1$	$t_1 + t_2$	$t_2 + t_3$	$t_3 + t_4$
$T_1$	1	0	0	0
$T_2$	0	1	0	0
$T_3$	0	0	1	0
$T_4$	0	0	0	1
$B_1$	1	0	1	0
$B_2$	0	1	1	0

табл. 1

$T_1 = 1$  - включен тиристор  $VS_1$

$T_1 = 0$  - изключен тиристор  $VS_1$

От принципа на работа на инверторите и табл. 1 се вижда, че извън комутационния интервал винаги работи само един тиристор, от което следва, че схемата трябва да се описва поинтервално.

След направените общоприети допускания за идеалност на вентилите, захранващия източник и трансформатора с пренебрегва се намагнитващия контур с е съставен еквивалентна схема на инверторите (Фиг. 3).

С пунктирна линия са дадени допълнителните елементи, които са включени в сх. 2, като се изключват от модела за сх. 1 кондензатора С и комутиращите тиристори VS<sub>2</sub>, VS<sub>4</sub>, чиито функции се изпълняват от кондензаторите C<sub>1</sub>, C<sub>2</sub> и комутиращия тиристор VS<sub>2,4</sub>.

Заместващата схема на трансформатора включва индуктивностите на разсейване на трите намотки (W<sub>11</sub>, W<sub>12</sub>, W<sub>2</sub>), активните им съпротивления (R<sub>1'</sub>, R<sub>2</sub>, R<sub>3'</sub>), приведени към намотката W<sub>12</sub> и два идеални трансформатора (Tr<sub>1</sub>, Tr<sub>2</sub>) [1,2]. Кофициентите на трансформация на трансформаторите са:  $k_{tr_1} = \frac{W_2}{W_{12}}$ ;  $k_{tr_2} = \frac{W_{12}}{W_{12}} = 1$ .

След като съставим поинтервално системите диференциални уравнения (СДУ), отразявани състоянието на сх. 1 при работа на отделните тиристори и ги обединим посредством логическите функции (табл. 1), получаване обобщена СДУ (1).

$$\begin{aligned}
 p.I_1 &= \frac{1}{L_{1'} + L_2 + L\Phi_{1'}} \cdot \left[ B_{11}.E + B_{21}.U_C - R_{21}.I_1 - R_{1'}.(I_1 - I_{2'}) - \right. \\
 &\quad \left. - U_{C\Phi_{1'}} - U_{C\Phi_{2'}} + p.I_{2'}.(L_{1'} + L\Phi_{1'}) \right] \\
 p.I_{2'} &= \frac{1}{L_{1'} + L_3' + L\Phi_{1'}} \cdot \left[ B_{11}.E + \bar{B}_{21}.U_C - R_{3'}.I_{2'} + R_{1'}.(I_1 - I_{2'}) + \right. \\
 &\quad \left. + U_{C\Phi_{1'}} + U_{C\Phi_{2'}} + p.I_{11}.(L_{1'} + L\Phi_{1'}) \right] \\
 p.I_d' &= \frac{1}{L\Phi_2} \cdot \left[ U_{C\Phi_{2'}} - R_d'.I_d' \right] \\
 p.U_C &= \frac{1}{C} \cdot \left[ \bar{B}_{21}.I_{2'} - B_{21}.I_1 \right] \\
 p.U_{C\Phi_{1'}} &= \frac{1}{C\Phi_{1'}} \cdot \left[ I_1 - I_{2'} \right] \\
 p.U_{C\Phi_{2'}} &= \frac{1}{C\Phi_{2'}} \cdot \left[ I_1 - I_{2'} - I_d' \right]
 \end{aligned} \tag{1}$$

където:

$$\begin{aligned} p.I_{11} &= p.I_1 \quad \text{при } I_1 > 0 \\ p.I_{11} &= 0 \quad \text{при } I_1 = 0 \\ p.I_{22'} &= p.I_2' \quad \text{при } I_2' > 0 \\ p.I_{22'} &= 0 \quad \text{при } I_2' = 0 \end{aligned} \quad (2)$$

Аналогично за сх.2 получаваме обобщена СДУ (3):

$$\begin{aligned} p.I_1 &= \frac{1}{L_1' + L_2 + L\Phi_1'} \cdot \left[ B_1 \cdot E + \bar{T}_1 \cdot Uc_1 - T_2 \cdot Uc_2 - [R_1' + R_2] \cdot I_1 + \right. \\ &\quad \left. + R_1' \cdot I_2' - Uc\Phi_1' - Uc\Phi_2' + p.I_{22'} \cdot [L_1' + L\Phi_1'] \right] \\ p.I_2' &= \frac{1}{L_1' + L_2 + L\Phi_1'} \cdot \left[ B_1 \cdot E + T_1 \cdot Uc_1 + [\bar{B}_1 - T_1] \cdot Uc_2 + R_2' \cdot I_2 - \right. \\ &\quad \left. - [R_1' - R_2'] \cdot I_1 + Uc\Phi_1' + Uc\Phi_2' + p.I_{11} \cdot [L_1' + L\Phi_1'] \right] \\ p.Id' &= \frac{1}{L\Phi_2} \cdot [Uc\Phi_2' - R_d' \cdot Id'] \\ p.Uc_1 &= \frac{1}{C_1} \cdot Ic_1 \\ p.Uc_2 &= \frac{1}{C_2} \cdot Ic_2 \\ p.Uc\Phi_1' &= \frac{1}{C\Phi_1'} \cdot [I_1 - I_2'] \\ p.Uc\Phi_2' &= \frac{1}{C\Phi_2'} \cdot [I_1 - I_2' - Id'] \end{aligned}$$

За система (3) са валидни условията (2) и (4):

$$\begin{aligned} Ic_1 &= T_1 \cdot I_2' - \bar{T}_1 \cdot I_2 \quad \text{при } Uc_1 > 0 \\ Ic_1 &= 0 \quad \text{при } Uc_1 = 0 \\ Ic_2 &= T_2 \cdot I_1 - \bar{T}_2 \cdot I_1 \quad \text{при } Uc_2 > 0 \\ Ic_2 &= 0 \quad \text{при } Uc_2 = 0 \end{aligned} \quad (4)$$

СДУ са решени за автономни инвертори, изпълнени по сх.1 и сх.2 със следните данни:  $E=60V$ ,  $C=C_1=C_2=10\mu F$ ,  $L_1'=1.58mH$ ,  $L_2=L_2'=3.46mH$ ,  $R_1'=0.1\Omega$ ,  $R_2=0.2\Omega$ ,  $R_d'=0.2\Omega$ ,  $k_{tr_1}=5.85$ ,  $C\Phi_1=34\mu F$ ,  $L\Phi_1=242mH$ ,  $L\Phi_2=50mH$ ,  $C\Phi_2=21\mu F$ ,  $R_d=140+850\Omega$ ,  $t_n=5ms$ .

След като намерим неизвестните в система (1) и (3) определяме натоварването на тиристорите по напрежение  $U_{ak,pr}$ ,  $U_{ak,obr}$  и схемното време за възстановяване  $t_q$ , където напреженията на работен и комутиращ тиристор, съответно за сх.1 и сх.2 са дефинирани от (5) и (6):

$$\begin{aligned} U_{aki} &= T_2 \cdot (E - U_c) - T_2 \cdot U_c + T_4 \cdot E \\ U_{akz} &= T_1 \cdot (U_c - E) - T_1 \cdot E + T_4 \cdot U_c \end{aligned} \quad (5)$$

$$U_{ak1} = T_2 \cdot (E - U_{ci}) + T_3 \cdot (U_{cz} - U_{ci}) + T_4 \cdot (E - U_{ci}) \quad (6)$$

$$U_{ak2,4} = T_1 \cdot (U_{ci} - E) + T_3 \cdot (U_{cz} - E)$$

Получени са времендиаграми и графични зависимости за изследваните схеми, които имат много добро съвпадение с експерименталните резултати при участъците в които напреженията върху елементите са допустими за реалния модел.

В приложение 1 са дадени само някои от получените графични зависимости, които потвърждават направените изводи. Величините са дадени в относителни единици, като:

$$U_{ak*} = \frac{U_{ak}}{E}, \quad t_{q*} = \frac{t_q}{T/2}, \quad R_{d*} = \frac{R_{dnom}}{R_d}$$

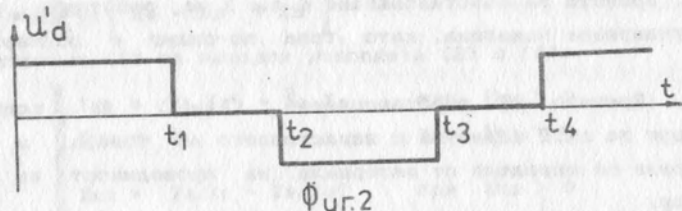
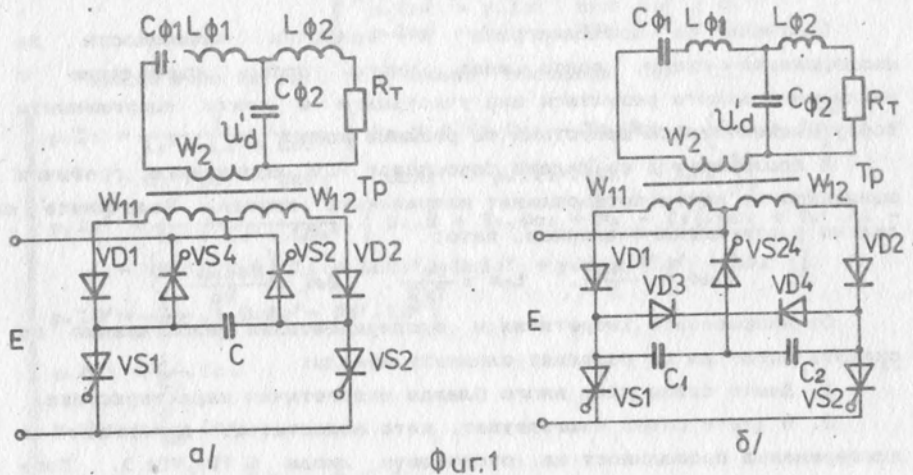
От направените теоретични и експериментални изследвания на схемата могат да се направят следните изводи:

1. Двете схеми имат много близки енергетични характеристики.
2. В двете схеми съществуват, като недостатък, интервали на едновременна проводимост на отсичащите диоди ( $VD_1, VD_2$ ). Това по-силно е изразено в схема 2.
3. Времето за възстановяване ( $t_{q1}$ ) за работните тиристори при натоварване нараства, като това по-силно е подчертано при сх.1.
4. Времето за възстановяване ( $t_{q2}$ ) на комутиращите тиристори за сх.2 нараства с нарастването на товара, а за сх.1 това време се определя от интервала на проводимост на работния тиристор.
5. Натоварването на тиристорите по напрежение  $K_u = \frac{U_{ak \max}}{E}$  е по-голямо при сх.2.

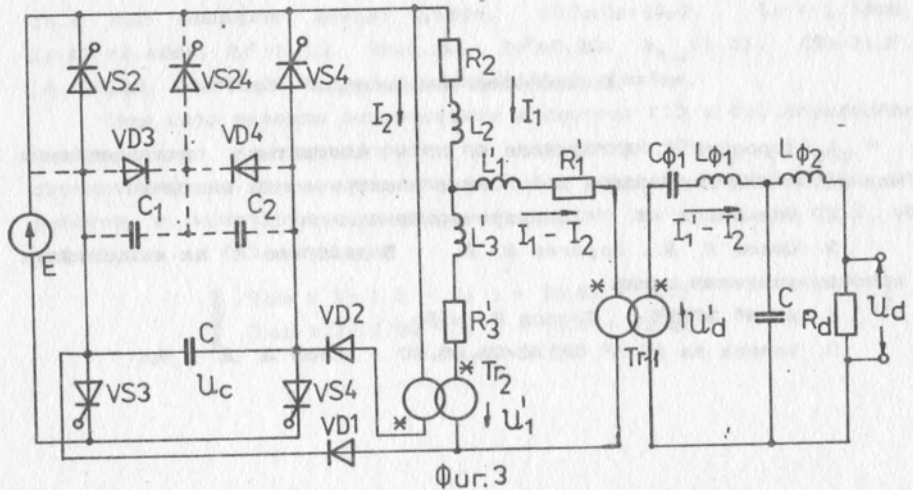
#### Използвана литература:

1. Коротков Б. А., Попков Е. И. Алгоритмы имитационного моделирования переходных процессов в электрических системах
2. Вольдек А. И. Электрические машины
3. Цеков И. Б., Борисов В. Я. Моделиране на вентилни преобразувателни схеми
4. АС № 37215 Петков Р. и др.
5. заявка за АС № 92132/08.06.90 Юдов Д. Д. и др.

Приложение 1



Фиг.2



Фиг.3

Приложение 2

